

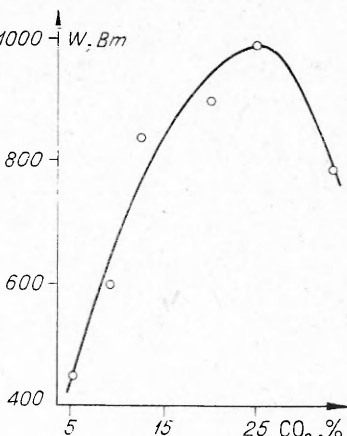
Рис. 6. Экспериментальные данные о зависимости мощности генерации от содержания CO_2 в инжектируемой смеси ($\rho_{\text{см}}=9$ атм, $T_0=1900$ К, $p_0=9$ атм, $l^*=2,5$ мм).

($W/G \sim 1$ Дж/г) объясняется тем, что при достигаемом здесь уровне показателя усиления $\alpha \approx 1 \text{ м}^{-1}$ резонатор работает не в оптимальном режиме: малая длина активной среды (12 см), недостаточно высокое качество покрытия зеркал резонатора и т. д.

Подводя итоги, отметим, что приведенные выше характеристики режимов генерации в ГДЛ со смешением в сверхзвуковом потоке (выходная мощность генерации ~ 1 кВт, с удельной энергией съема 25 Дж/г при КПД резонатора порядка 25% и длине активной среды 12 см) свидетельствуют о высокой эффективности и перспективности ГДЛ с селективным тепловым возбуждением.

Авторы считают своим приятным долгом выразить признательность С. А. Лосеву, В. К. Конюхову и Ю. А. Якоби за полезные обсуждения.

Институт теоретической и
прикладной механики
СО АН СССР, Новосибирск



Поступила в редакцию
7/V 1976

ЛИТЕРАТУРА

1. E. T. Gergg. IEEE Spectrum, 1970, **7**, 11, 51.
2. P. V. Avigoris, D. R. Dean, R. Grotbeck. Appl. Phys. Lett., 1973, **23**, 7, 375.
3. В. Н. Карнишин. Р. И. Солоухин. ФГВ, 1972, **8**, 2, 163.
4. Н. Г. Басов, А. Н. Ораевский, В. А. Щеглов. ЖТФ, 1970, **40**, 1, 173.
5. V. N. Croshko, R. I. Soloukhin, R. Wolanski. Opt. Com., 1972, **6**, 3, 275.
6. В. Н. Крошко, Р. И. Солоухин. Докл. АН СССР, 1973, **211**, 4, 829.
7. J. P. E. Tagap, M. Chargueil, R. Borghi. AIAA-Paper, 1973, № 73—622.
8. В. Н. Крошко, Р. И. Солоухин, Н. А. Фомин. ФГВ, 1974, **10**, 4, 473.
9. V. N. Croshko, N. A. Fomin, R. I. Soloukhin. 5-th Int. Coll. on Gasdynamics of Explosions and Reactive Systems, (c3), 1975, Bourges.
10. T. A. Cool, I. A. Shirley, R. R. Stephens. Appl. Phys. Lett., 1970, **17**, 7, 278.

ВЛИЯНИЕ РАЗМЕРА ЗЕРНА НА НАЧАЛО ПРОЦЕССА ВОЛНООБРАЗОВАНИЯ ПРИ СВАРКЕ ВЗРЫВОМ

М. П. Бондарь, А. А. Дерибас, В. И. Мали,
В. А. Симонов

В работах [1, 2] экспериментально установлено, что волнообразование возможно, когда скорость соударения превосходит некоторую критическую, характерную для каждого материала. Значение критической скорости в [2] находится из выражения для числа Рейнольдса, определенного как

$$Re = \frac{(\rho_B + \rho_H) v_K^2}{H_B + H_H}, \quad (1)$$

где ρ_v , ρ_n — плотности материалов верхней и нижней свариваемых пластин; H_v , H_n — твердости пластин, измеренные алмазной пирамидкой; величина Re найдена из эксперимента и равна 10,6. Как видно, в качестве характеристики сопротивления материала действию напряжений в зоне соударения в [2] используется твердость. Структурные особенности материалов в известных работах по волнообразованию не учитываются.

В настоящей работе показано, что на начало волнообразования большое влияние оказывает размер зерна. Исследование этого вопроса имеет большое теоретическое и практическое значение, особенно при сварке тех материалов, которые для получения необходимых прочностных свойств подвергаются высокотемпературной обработке. Изучение влияния размера зерна на начало процесса волнообразования проводилось на образцах из чистой меди и из внутреннеокисленных медных сплавов.

Материалы и методика эксперимента

Для исследования использовались пластины площадью 40×120 мм, имеющие толщину 4; 3; 2; 1 и 0,5 мм. Пластины готовились из меди и сплава Cu+0,2%Be, полученных в вакууме ($\sim 10^{-4}$ мм рт. ст.). Для обеспечения сильно текстурированной структуры некоторые слитки подвергались 400% обжатию при прокатке. Для создания разного размера зерен — d образцы отжигались в вакууме при температурах 300 и 1000°C от 6 до 20 ч. В результате этой обработки d изменялся от 30 до 2500 мкм. Пластины конечной толщины сплава Cu+0,2%Be после описанных видов обработки подвергались внутреннему окислению при 950°C по методике [3]. После этого процесса на поверхности образцов, предварительно отожженных при 300°C, сохранялся малый d (~ 50 мкм), а начиная с глубины 50 мкм от поверхности d и в этих образцах превышал 1000 мкм.

На подготовленных к сварке пластинах измерялась микротвердость на приборе ПМТ-3 при нагрузке 50 г и по микрошлифам определялся размер исходных зерен. Сварка взрывом проводилась по схеме несимметричного соударения. Параметры соударения изменялись в следующих пределах: $1740 \leq D \leq 3600$ м/с, $11 \leq \gamma \leq 22^\circ$, $800 \leq v_k \leq 3000$ м/с.

После сварки пары одинаково обработанных пластин заготовка разрезалась на две равные части вдоль ее длины, из концов и из середины отрезанной полосы вырезались образцы для шлифов, которые готовились по плоскостям разреза, перпендикулярным плоскости сварки. По шлифам определялся характер зоны соединения и параметры волн в случае их образования.

Изучение структуры микрошлифов образцов серии опытов на пластинах равной толщины, но с разным d , сваренных взрывом при одних и тех же γ и разных v_k , позволило обнаружить, что v_k , при которой происходит переход от гладкой зоны соединения к волновой, для образцов с разным d , разная. Так, для образцов меди с $d=60$ мкм, сваренных при $\gamma=16^\circ$, величина v_k , при которой наблюдался переход от гладкой зоны соединения к волновой, была равна 950 м/с. Это значение практически совпадает с критическими скоростями начала волнообразования, определенными в [1,2].

Для образцов с $d=1000$ мкм при том же γ переход к волновой зоне соединения происходил при $v_k=1400$ м/с, хотя значения микротвердости для этих образцов одинаковы и равны 50 кГ/мм². Характер такой зависимости начала волнообразования для образцов с разным d от v_k выполняется и для внутреннеокисленной меди; для образцов с $d=50$ мкм на поверхности переход к волновой зоне при

$\gamma = 10^\circ$ происходит при $v_k = 2200$ м/с, для образцов с $d = 1000$ мкм и том же γ — при $v_k = 2700$ м/с (микротвердость этих образцов равна 200 кГ/мм²).

Для установления закономерности связи между величиной зерна и критической скоростью точки контакта при сварке взрывом, при которой происходит переход от гладкой зоны соединения к волновой, был использован графический метод представления результатов, приведенный на рисунке. График построен в координатах $R/d - v_k/c_t$, где R — характерный размер зоны высокого давления, определенный в [4] следующим образом:

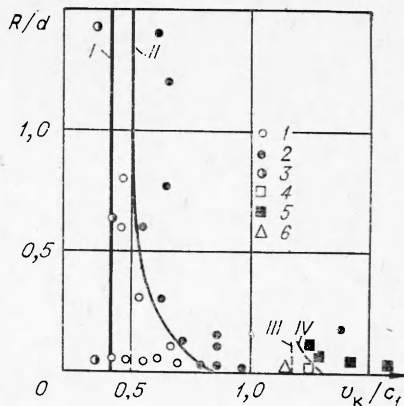
$$R = \frac{48}{\pi} \left(1 - \frac{v_1^2}{c_0^2} \right)^{1/2} \sin^2 \gamma/2,$$

где δ — толщина метаемой пластины; v_1 — скорость движения материала метаемой пластины в системе координат, связанной с точкой контакта;

$c_0 = 3600$ м/с — скорость распространения упругих продольных волн в меди; $c_t = 1860$ м/с — минимальное значение скорости упругих поперечных (сдвиговых) волн в меди. Выбор этих безразмерных координат для построения графика основывался на том, что для отражения картины процесса сварки необходимо сопоставить параметры материала и параметры соударения. Использование минимального значения скорости сдвиговых волн определялось тем, что начало волнообразования для чистой меди с любым размером зерен происходит при $v_k < c_t$. Зависимость начала волнообразования от скорости точки контакта одинакова как для сильно текстурированных, так и нетекстурированных образцов, т. е. на начало волнообразования не влияет характер кристаллографической плоскости. Кроме того, рассматривается нижняя граница сварки взрывом по величинам скоростей точек контакта, а следовательно, и по давлениям, развивающимся при соударении, при которых, вероятно, закономерности процессов близки к статическим (т. е. в первую очередь в деформацию включаются направления с минимальным модулем сдвига).

Приведенные на графике результаты экспериментов показывают, что для чистой меди нижняя граница сварки (I) соответствует прямой $v_k/c_t = 0,4$, причем сварка вначале происходит с прямолинейной границей соединения. Переход к волнобразной границе соединения наблюдается при больших значениях величины v_k и изображен на графике кривой (II). Граница (II), разделяющая области гладкого и волнового соединения при $R/d > 1$, проходит по прямой $v_k/c_t = 0,5$; с увеличением d , т. е. при уменьшении отношения R/d , соответствующие величины v_k/c_t увеличиваются. Для образцов из внутреннеокисленной меди картина начала сварки и перехода от гладкой зоны соединения к волновой аналогична (кривые III, IV).

Из рисунка видно, что величина интервала безволнового соединения с ростом d увеличивается; интервал для внутреннеокисленной меди значительно меньше, чем для чистой. Тонкие пластины ($h = 0,5$ мм) из внутреннеокисленной меди при сварке в безволновом режиме соединяются некачественно. Если принять, что для сварки пластин



Экспериментальные результаты в координатах $(R/d, v_k/c_t)$.

I — граница сварки для меди; II — граница волнообразования для меди; III — граница сварки для внутреннеокисленной меди; IV — граница волнообразования для внутреннеокисленной меди; 1 — медь, сварка; 2 — медь, волны, сварка; 3 — медь, сварки нет; 4 — внутреннеокисленная медь, сварка; 5 — внутреннеокисленная медь, волны, сварка; 6 — внутреннеокисленная медь, сварки нет.

необходимо пластическое смятие неровностей на контактирующих поверхностях и структурная подстройка атомов в области создавшегося контакта, то, вероятно, для обеспечения необходимой «гладкости» свариваемых поверхностей нужна оптимальная степень совместного пластического течения свариваемых пластин. Резерв течения будет тем больше, чем больше разность $\sigma_b - \sigma_t$ (σ_b — предел прочности при разрушении, σ_t — предел текучести). С увеличением этой разницы интервал безволнового соединения будет расти. Для чистой меди область безволнового соединения значительно больше, чем для внутреннеокисленных сплавов ($\sigma_t = 9$ кГ/мм², $\sigma_b = 22$ кГ/мм² — для меди, а для внутреннеокисленного сплава Cu+0,2%Be $\sigma_t = 34,2$ кГ/мм², $\sigma_b = 38,7$ кГ/мм²).

Начало возникновения волновой зоны соединения для образцов с $d \leq R$ не зависит от d , как видно на рисунке, для $R/d \geq 1$ линия начала волнообразования идет параллельно оси ординат. Необходимо подчеркнуть, что изменение R/d в проведенных экспериментах в основном определено разным размером зерен. Наблюдаемую при $R/d < 1$ зависимость начала волнообразования от d нельзя связать с тем, что для крупнозернистых материалов предел текучести меньше, чем для мелкозернистых, так как последнее в большей степени должно влиять на начало сварки, т. е. на положение линии I , и должно сместить ее в сторону меньших значений v_k/c_t .

Зависимость начала волнообразования от d может быть понята из условий деформации соударяющихся поверхностей.

При постоянном γ , рост v_k связан с увеличением давления в зоне R . Если $v_k \rightarrow c_t$, то уменьшается расстояние впереди точки контакта, на котором происходит деформация за счет релаксации напряжений на свободную поверхность. Это приводит к образованию бугра перед точкой контакта, т. е. к началу волнообразования. При уменьшении v_k это расстояние будет увеличиваться при меньшем уровне напряжений в зоне R , и условия развития волнообразования будут ухудшаться. При большой разнице ($c_t - v_k$) образование бугра возможно, если считать, что границы зерен являются существенным препятствием для развития скольжения в объем образца. В этом случае время деформации поверхности при образовании волны можно определить как $t = v_k/d$, время распространения поперечной упругой волны через пластинку толщиной δ как $\tau = \delta/c_t$. Тогда условие волнообразования можно записать в виде

$$t < \tau. \quad (2)$$

Анализ результатов, полученных в работе, подтверждает правильность данных рассуждений. Кривая II на рисунке — граница перехода от гладкой зоны соединения к волновой — в интервалах $0 < R/d < 0,5$ и $0,5 < v_k/c_t < 1$ близка к гиперболе и может быть описана выражением

$$R/d = c_t/v_k \quad (3)$$

Используя приближение $R = A\delta$, где $A = A(\gamma)$, уравнение (3) можно переписать в следующем виде: $A\delta/d = c_t/v_k$ или $A\delta/c_t = d/v_k$. Тогда область правее кривой 2 , соответствующая волновой зоне соединения, может быть выражена как $A\delta/c_t > v/d_k$, что совпадает с принятым условием волнообразования (2).

Результаты, полученные в работе, имеют существенное значение для сварки взрывом пластин толщиной до нескольких миллиметров из жаропрочных материалов, имеющих, как правило, крупное зерно и высокий предел текучести. Плохое качество сварки крупнозернистых пластин с гладкой зоной соединения позволяет предположить, что при сварке материалов с большим пределом текучести и малым значением

$(\sigma_b - \sigma_t)$ пластическая деформация не достаточна для обеспечения связи, и только волнообразование, приводящее к развитию совместного течения, создает необходимую связь. При сварке толстых пластин величина зоны высокого давления возрастает, отношение R/d приближается к единице, и влиянием размера зерна можно пренебречь.

Институт гидродинамики СО АН СССР,
Новосибирск

Поступила в редакцию
18/VII 1975

ЛИТЕРАТУРА

1. А. А. Дерибас. Физика упрочнения и сварки взрывом. Новосибирск, «Наука», 1972. с. 117.
2. G. R. Cowp, O. R. Bergmann, A. H. Holtzman. Met. Trans., 1971, 2, 11, 3145.
3. М. П. Бондарь. Физика металлов и металловедение, 1969, 27, 4, 650.
4. А. А. Дерибас. ФГВ, 1973, 9, 2, 268.

ЗАВИСИМОСТЬ СКОРОСТИ ДЕТОНАЦИИ ОТ ДИАМЕТРА ЗАРЯДА

Л. Г. Болховитинов, С. Д. Викторов

Влияние диаметра заряда на скорость детонации объясняется тем, что при диаметрах заряда меньше предельного в результате прихода волн разгрузки от боковых поверхностей заряда происходит боковое расширение продуктов детонации до завершения химической реакции разложения исходного взрывчатого вещества.

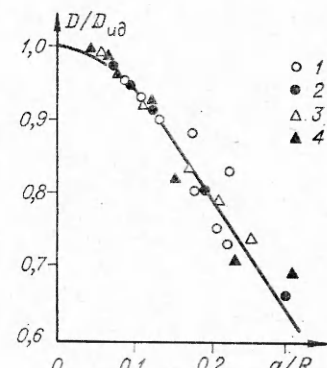
В работе [1] найдено, что опытные значения скорости неидеальной детонации ряда ВВ различной плотности могут быть описаны единой функциональной зависимостью

$$D/D_{id} = f(a/R), \quad (1)$$

где D_{id} — скорость идеальной детонации, R — радиус заряда. Величина a — «эффективная зона реакции» — подбирается для каждого индивидуального ВВ, причем она сохраняет постоянное значение при изменении радиуса заряда.

Используя имеющиеся в литературе данные и собственные эксперименты, выясним, не является ли полученная в работе [1] зависимость (1) приемлемой и для других типов взрывчатых веществ. Вид этой зависимости показан на рисунке. Учитывая, что опытные значения скоростей детонации получены с некоторой ошибкой, для определения входящих в зависимость (1) D_{id} и a использовался метод наименьших квадратов.

В таблице приведены результаты вычислений для различных ВВ. В расчетах использовались имеющиеся в литературе опытные зависимости скорости детонации от величины диаметра заряда. В пятой колонке таблицы приведены отношения вычисленной ширины зоны химической реакции a в мм и критического диаметра d_{kp} рассматриваемых составов.



Зависимость приведенной скорости детонации от приведенного обратного радиуса заряда.

1 — зерногранулит 80/20, $\rho_0 = 1 \text{ г}/\text{см}^3$; 2 — аммонит 6ЖВ, $\rho_0 = 1 \text{ г}/\text{см}^3$; 3 — аммонит ПЖВ-20, $\rho_0 = 1 \text{ г}/\text{см}^3$; 4 — скальный аммонит № 1, $\rho_0 = 0,95 \text{ г}/\text{см}^3$.